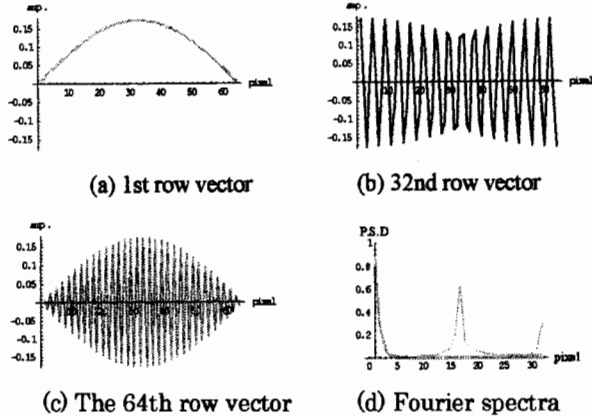


(a) Dirichlet Condition (b) Daubechies 2nd Order
Fig. 1 Modal Wavelet Matrices



(a) 1st row vector (b) 32nd row vector
(c) The 64th row vector (d) Fourier spectra
Fig. 2. Elements of row vectors in the matrix shown in Fig. 1 (a) and corresponding Fourier spectra

Fig.2より、モーダル行列 W は行数が増加すると通過周波数も高くなり、従来の離散ウェーブレット変換の性質を有することがわかる。

3. 実験と考察

モーダルウェーブレット変換を PIV 画像へ応用するために、気液二相流のバブルの鉛直上昇流れによる実験を行った。装置は内径 50mm、全長 2m のガラスパイプを鉛直にたて、その下部にバブル発生装置、2 つのポンプ、貯水タンクを取り付け、中部に PIV 測定するためのレーザーシートを、パイプ表面の屈折率を減少するためにクリアプラスチックの箱を取り付けた部分に、ツイン Nd:YAG レーザで、エネルギー 400mJ、パルス幅 9ns を当て、CCD カメラ 3 台で計測を行なった。その実験装置概略図を Fig.3 に示す。

Fig.4(a)は鉛直管内を流れる気液二相流の PIV 画像を示した。X=41, Y=41 のデータからなる Fig.4(a)は、PIV 画像が密で状態が把握しにくいので、データを等間隔で間引きし、全体の約 7.2% のデータ量にした図を Fig.4(b)に示す。

計測した PIV 画像に対して、式(8)のモーダルウェーブレット変換を施し、画像再構成を行なった。その過程において、境界条件のディリクレ型とノイマン型は、オリジナル画像に対してどれだけ画像相関の値が違うか式(11)を用いて調べた。

$$C = \frac{\sum_{i=1}^n (U_i^{recon} - \bar{U}^{recon})(U_i^{origin} - \bar{U}^{origin})}{\sqrt{\sum_{i=1}^n (U_i^{recon} - \bar{U}^{recon})^2} \sqrt{\sum_{i=1}^n (U_i^{origin} - \bar{U}^{origin})^2}} \quad (11)$$

ここで、 U^{recon} は画像再構成レベルごとの値、 U^{origin} はオリジナル画像の値、 \bar{U} は各値における空間の平均値を示す。

Fig.5 は式(11)の結果を示した。全体的に見て、加算レベルが増加するに従って相関値は増加する。境界条件ごとに画像相関値を見ると、ディリクレ型は最初の低いレベルから急激な相関値の増加を示し、ノイマン型はレベルに関係

なく高い相関値を示した。したがって、ノイマン型の境界条件の方が、本実験条件においては解析に適切であると考えられる。

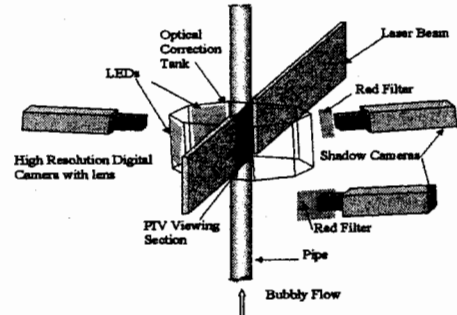
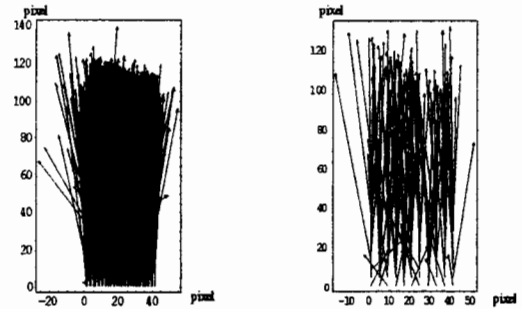


Fig. 3. Experimental Set-up



(a) Original Data (b) Thined Data from Original Data
Fig. 4 PIV Image

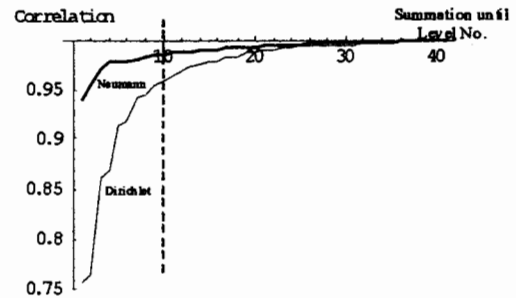


Fig.5 Correlation of PIV vector image for Dirichlet boundary condition and Neumann boundary condition

4. 結言

従来の離散ウェーブレット変換の問題点を解決するために、2 のべき乗に限定されない新しいモーダルウェーブレット変換を PIV 画像へ境界条件ごとに応用した。その結果、ノイマン型の方が、本実験条件においては適していることがわかった。

本実験を行なうにあたり、米国 Texas A&M の Prof. Yassin A. Hassan にご協力ご助言をいただきました。ここに厚く御礼申し上げます。

5. 参考文献

- 1) 新島耕一, ウェーブレット画像解析, 科学技術出版 (1999)
- 2) H. Li, M. Takei, et al., Trans. of The Japan Society for Aeronautical and Space Sciences, Vol.42, No.137, (1999), p.p.120-127.
- 3) 斎藤兆古, ウェーブレット変換の基礎と応用, 朝倉書店 (1998)